

それその図心に集中しており、それら自身の軸に関する断面2次モーメントは無視できるものとする(図-3.4参照)。

A : 部材の全断面積(シース穴, PC鋼線, 等は無視して求めたもの)

A_g : シース穴断面積

A_p : PC鋼線断面積

A_s : 鉄筋断面積(普通の場合無視可能)

$A_c = A - A_g$ (コンクリート断面積)

$A_e = A + (n-1)A_p$ (換算断面積)

I : 部材の全断面(A)について求めた断面2次モーメント

y : A の図心と下縁との距離

y_g : シース穴断面積 A_g の図心と下縁との距離

y_p : PC鋼線図心と下縁との距離

y_s : 鉄筋図心と下縁との距離

y_c' : コンクリート断面 A_c の図心と下縁との距離

y_e' : 換算断面 A_e の図心と下縁との距離

コンクリート断面について:

$$A_c = A - A_g \quad y_c = \frac{Ay - A_g \cdot y_g}{A_c}$$

$$I_c = I + A(y_c - y)^2 - A_g(y_c - y_g)^2$$

断面係数 Z_c, Z_c'

$$Z_c' = \frac{I_c}{h - y_c} \quad Z_c = \frac{I_c}{y_c}$$

換算断面について:

$$A_e = A + (n-1)A_p \quad y_e = \frac{Ay + (n-1)A_p \cdot y_p}{A_e}$$

$$I_e = I + A(y_e - y)^2 + (n-1)A_p(y_e - y_p)^2$$

断面係数 Z_e, Z_e'

$$Z_e' = \frac{I_e}{h - y_e} \quad Z_e = \frac{I_e}{y_e}$$

(3) 断面の曲げ応力とプレストレスとの合成応力度

a) プレテンショニングの場合:

$$\sigma_c' = \frac{P}{A_e} + \frac{M_p + M_d + M_l}{Z_e'}$$

$$\sigma_c = \frac{P}{A_e} - \frac{M_p + M_d + M_l}{Z_e}$$

b) ポストテンショニングなどで付着をおこさせる場合

$$\sigma_e' = \frac{P}{A_c} + \frac{M_p + M_d}{Z_c'} + \frac{M_l}{Z_e'}$$

$$\sigma_e = \frac{P}{A_c} - \frac{M_p + M_d}{Z_c} - \frac{M_l}{Z_e}$$

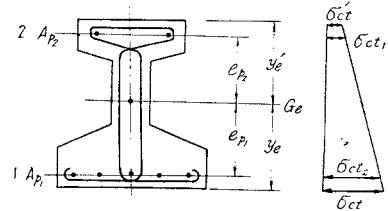
ここに M_p : プレストレッシングによる曲げモーメント $= p \cdot e_p$

PC鋼線とコンクリートとの間に付着のある場合の鋼線応力度は、荷重によつておこるPC鋼線位置のコンクリート応力度の n 倍となる。

コンクリートの縁維応力度の最悪の状態を求めるには、コンクリートの乾燥収縮、クリープ、PC鋼線のラクセーションのおこる前およびおこつたあととの状態につき、最悪の荷重状態と組合せて応力度計算を実施する。

プレテンショニングの場合にはPC鋼線が上下2段に配置されることが多い(図-3.5)。このような場合のプレストレスおよびPC鋼線応力度を求めるにはつぎのような影響係数 $\alpha_{11}, \alpha_{12}, \dots, \alpha_{21}$ 等を用いて計算するのが便利である。

図-3.5



ここに $\alpha_{i,j}$ は、 j 段目のPC鋼線単位引張応力度が*i*段目のPC鋼線応力度におよぼす影響を示すものであつて、図-3.5のような場合つぎのように表わされる。

$$\alpha_{11} = n \frac{A_{p1}}{A_e} \left(1 + \frac{A_e}{I_e} \cdot e_{p1}^2 \right) \dots \dots \dots (3.4a)$$

$$\alpha_{12} = n \frac{A_{p2}}{A_e} \left(1 - \frac{A_e}{I_e} \cdot e_{p2} \cdot e_{p1} \right) \dots \dots \dots (3.4b)$$

$$\alpha_{22} = n \frac{A_{p2}}{A_e} \left(1 + \frac{A_e}{I_e} \cdot e_{p2}^2 \right) \dots \dots \dots (3.4c)$$

$$\alpha_{21} = n \frac{A_{p1}}{A_e} \left(1 - \frac{A_e}{I_e} \cdot e_{p2} \cdot e_{p1} \right) \dots \dots \dots (3.4d)$$

以上の係数 α を用いて、各PC鋼線位置のコンクリート応力度、 $\sigma_{ct1}, \sigma_{ct2}, \dots$ PC鋼線応力度 $\sigma_{pt1}, \sigma_{pt2}, \dots$ 等を求める。引張台にPC鋼線を引張るときの引張応力度を各段のPC鋼線ごとに変化させ、 $\sigma_{p11}, \sigma_{p12}, \dots$ 等とする場合にはコンクリート応力度はつぎの式で求められる。

$$\left. \begin{aligned} \sigma_{ct1} &= \frac{1}{n} [\sigma_{p11}\alpha_{11} + \sigma_{p12}\alpha_{12} + \dots] \\ \sigma_{ct2} &= \frac{1}{n} [\sigma_{p11}\alpha_{21} + \sigma_{p12}\alpha_{22} + \dots] \end{aligned} \right\} \dots \dots \dots (3.5a)$$

PC鋼線応力度はつぎの式で求められる。

$$\left. \begin{aligned} \sigma_{pt1} &= \sigma_{p11} - [\sigma_{p11}\alpha_{11} + \sigma_{p12}\alpha_{12} + \dots] \\ \sigma_{pt2} &= \sigma_{p12} - [\sigma_{p11}\alpha_{21} + \sigma_{p12}\alpha_{22} + \dots] \end{aligned} \right\} \dots \dots \dots (3.5b)$$

(3.5a) 式によつて求められたコンクリート応力度から、プレストレスは直線分布であるという仮定を用いて、 $\sigma_{ct}, \sigma_{ct}'$ が計算できる。

下突縁部に数段のPC鋼線がある場合、簡単のために、これらの下突縁部の全PC鋼線図心位置 e_p を用いて α を計算しても大きい誤差は生じない。

(4) コンクリートの乾燥収縮、クリープ、による応力度

コンクリートの乾燥収縮、クリープによる応力度を計算するには、34条・35条の規定によつて、プレストレスをあたえるときのコンクリートの硬化の程度（コンクリートの圧縮強度で示す）、部材のおかれる気象条件、等によつて定まるクリープ係数 φ を用いて計算を実施しなければならない。

コンクリートの乾燥収縮、クリープによる付着のある
プレストレストコンクリートにおけるPC鋼線引張応
力度の減少量を近似的に計算するには、つきの方法によ
るのが便利である。

a) PC 鋼線が一段に配置されているとき、または大体集中して配置され、すべての PC 鋼線団心位置に全く PC 鋼線が集中していると考えられるとき：プレストレスの引張力 P_t はその有効引張力 P_e まで直線的に減少するものと仮定する（図-3-6）。

PC 鋼線位置のコンクリートのプレストレスによる弹性ヒズミを ϵ_{ct} とする。コンクリートのクリーピによってヒズミ増加は次式で表わされる。

$d\varphi$ の間に PC 鋼線引張力は $d(4P)$ だけ減少するから、これによる弾性ヒズミおよびクリープによるヒズミはそれぞれつぎのようになる。

$$-\varepsilon_{ct} \cdot \frac{d(A P)}{P_t} \quad \dots \dots \dots \quad (3.6\text{ b})$$

図-3.6 から明らかなように

$$\frac{d(\Delta P)}{\Delta P_n} = \frac{d\varphi}{\varphi_n} \quad \dots \dots \dots \quad (3 \cdot 7)$$

の関係が成立する。

したがつて PC 鋼線位置のコンクリートの短縮ヒズミはつぎのようく表わされる。

$$\begin{aligned} \Delta \varepsilon_c' &= \varepsilon_{ct} \varphi - \int_0^{\varphi_n} \varepsilon_{ct} \frac{d(\Delta P)}{P_t} - \int_0^{\varphi_n} \varepsilon_{ct} \frac{d(\Delta P)}{P_t} \varphi \\ &= \varepsilon_{ct} \varphi - \frac{\varepsilon_{ct}}{P_t} \int_0^{\varphi_n} (1+\varphi) \Delta P_n \cdot \frac{d\varphi}{\varphi_n} \\ &= \varepsilon_{ct} \varphi - \frac{\Delta P_n}{P_t} \cdot \frac{\varepsilon_{ct}}{\varphi_n} \left(\varphi_n + \frac{\varphi_n^2}{2} \right) \\ &= \varepsilon_{ct} \varphi - \varepsilon_{ct} \frac{\Delta P_n}{P_t} \left(1 + \frac{\varphi_n}{2} \right) \end{aligned} \quad (3.8.2)$$

持続荷重 ω_d と、コンクリートの乾燥収縮によるPC鋼線位置コンクリートのヒズミは(ω_d によつては伸び、乾燥収縮によつては短縮である)、つぎのようになる。

ここに、 ϵ_{ω_d} : 持続荷重 ω_d による PC 鋼線位置のコンクリート弾性ヒズミ

(3・8 a), (3・8 b) 式から PC 鋼線位置コンクリートの全ヒズミ変化量はつぎのようになる。

$$\Delta \varepsilon_c = -\varepsilon_{\omega d} \varphi_n + \varepsilon_s + \varepsilon_{ct} \varphi_n - \varepsilon_{ct} \frac{\Delta P_n}{P_t} \left(1 + \frac{\varphi_n}{2} \right) \quad \dots \dots \dots \quad (3.9)$$

PC 鋼線ヒズミの変化 $\Delta \epsilon_p$ は、PC 鋼線引張力減少量 ΔP_n に比例する。すなわち、

$$\Delta \varepsilon_p = \varepsilon_{pt} \cdot \frac{\Delta P_n}{P_t} \quad \dots \dots \dots \quad (3 \cdot 10)$$

ここに、 ϵ_{pt} ：プレストレスをあたえた直後の PC 鋼線ヒズミ

(3.9) (3.10) 式を等置して、 ΔP_n が求められる。

$$\frac{dP_n}{P_t} = \frac{\epsilon_s + \varphi_n (-\epsilon_{\omega d} + \epsilon_{ct})}{\epsilon_{ct} \left(1 + \frac{\varphi_n}{2}\right) + \epsilon_{pt}} \quad \dots \dots \dots (3.11 \text{ a})$$

応力度を用いて表わすと

$$\frac{\Delta P_n}{P_t} = \frac{\varepsilon E_p + n \varphi_n (\sigma_{ct} - \sigma_{cw} d)}{n \sigma_{ct} \left(1 + \frac{\varphi_n}{2}\right) + \sigma_{pt}} \quad \dots \dots (3.11 b)$$

σ_{ct} : PC 鋼線位置コンクリートのプレストレスをあたえた直後のプレストレス

$\sigma_{c\omega_d}$: 持続荷重による PC 鋼線位置のコンクリート応力度

σ_{pt} : プレストレスを与えた直後の PC 鋼線引張応力度

以上の近似解は Dischinger が微分方程式を解いて求めた結果と大差のない結果をえたえ、十分実用的なものである。

ポストテンショニングあとで付着をおこさせる場合でも、上記の近似計算式を適用してよいものである。付着をおこさせることができが、プレストレスをあたえてから、非常にあとの場合にはもちろん計算が異なつてくるが、普通の場合、プレストレスをあたえた直後に付着をあたえるものであるから、上式が十分適用できるのである。

b) プレテンショニング部材のように PC 鋼線が上下両突縁に配置され二段になつてゐる場合(図-3.5 に示したような場合)のコンクリートの乾燥収縮、クリープによる PC 鋼線引張応力度の減少を厳密に求めることは非常に複雑である。このような場合近似的につぎの方法を用いてよい。

コンクリート断面の任意の点の維応力度は、プレストレスをあたえた直後では、 $\sigma_{ct} + \sigma_{cud}$ である。これが最後には、 $\sigma_{ct} + \sigma_{cud} + \sigma_{c\varphi}$ となるものである。この場合の $\sigma_{c\varphi}$ はコンクリートの乾燥収縮、クリープによるコンクリート応力度である。これら応力度の変化は φ について直線的であると仮定する。すなわち、応力度状態の最初と最後との間に、クリープをおこす平均の応力度 σ_{cm} が

存在する。すなわち、この応力度によるコンクリートのクリープによるヒズミは

$$\epsilon_{\varphi} = \frac{\sigma_{cm}}{E_c} \cdot \varphi_n$$

となる。このヒズミ ϵ_0 と乾燥収縮ヒズミ ϵ_s とはコンクリートに付着している PC 鋼線にたいしてつぎのような応力度の減少を生ずることになる。

この場合近似的に σ_{cm} はつぎのようく表わされる。

$$\sigma_{cm} = \sigma_{ct} + \sigma_{c\omega d} + \frac{1}{2}\sigma_{c\varphi} \quad \dots \dots \dots \quad (3.13)$$

以上の式を用いる場合に、引張応力度は負、圧縮応力

度は正、とする。実際の計算にあたつては、 σ_{cm} を仮定し、(3.12b) 式によつて $d\sigma_{p1}$, $d\sigma_{p2}$ を求め、コンクリート応力度をつぎの式で求める。

$$\sigma_c \varphi_1 = \frac{\Delta \sigma_{p_1}}{n} \alpha_{11} + \frac{\Delta \sigma_{p_2}}{n} \alpha_{12} \dots \dots \dots \quad (3.14 \text{ a})$$

$$\sigma_c \varphi_2 = \frac{\Delta \sigma p_1}{n} \alpha_{21} + \frac{\Delta \sigma p_2}{n} \alpha_{22} \dots \dots \dots \quad (3.14 \text{ b})$$

この $\sigma_{c\varphi_1}, \sigma_{c\varphi_2}$, を (3.13) 式に代入して, $\sigma_{cm}, \sigma_{cm^2}$, 等を求める, 再び (3.12 b) 式に代入, これを用いて, (3.14 a), (3.14 b) 式で計算をくり返して近似度を上げてゆく方法が用いられる。 (3.13) 式で σ_{cm} を見積る場合に第一近似値として, 次のように仮定してよい。

$$\sigma_{cm} \approx (0.8 \sim 0.9) \times (\sigma_{ct} + \sigma_{c\omega d}) \quad \dots \dots \dots \quad (3 \cdot 15)$$

以上の近似計算によつて、コンクリートの乾燥収縮、クリープによる応力度が求まる。

コンクリート及 鉄筋コンクリート 施工方法 吉田徳次郎著 丸善刊

著者の前著「鉄筋コンクリート施工法（昭和17年改訂）」以来すでに14年を経過し、その間コンクリート施工法の分野において新らしい事項がつぎつぎと明らかとなり、これら新技術の現場適用がさかんとなつてきた。すなわち、セメント混和材としてのフライ アッシュ、ポゾリスの利用、アルカリ骨材反応の新事実、AEコンクリートの発達、プレパクトコンクリートの発明、コンクリート工事現場管理への推計学的応用、寒中コンクリート施工における電気養生の応用、レデー ミックストコンクリートの利用、等多数の新技术の発達はいちじるしいものがある。したがつてこれらのすべての事項についての解説をした著書がコンクリート技術者一般から広く望まれていたところである。著者は本書において、上記各種新技術全般にわたり詳細な記述をし、新技術適用にあたつて誤りがないよう各項目につきすみずみにまで注意が払われている。すなわち、配合設計の章においては、AEコンクリート、フライ アッシュを用いる場合等について例題について説明し、読者の理解を容易にしてある。AEコンクリートについては特に一

章をもうけ、AE コンクリートの一般的性質、施工上の注意のほか空気量の測定方法について説明をし、現場技術者の便がはかられている。

レーダー ミックス トコンクリートは、最近急速に利用されるようになつてきたが、これら製造、運搬、試験、検査、等の細目について述べ、利用者に誤りのないよう注意されている。

養生の項において、膜養生、蒸気養生、電気養生、について新しい知識をもととして読者の注意をひいている。特に電気養生については、電極の配置方法、所要電力、配線、通電中のコンクリート温度測定、等につき多数の図版により説明を加え、現場技術者がただちにこれらによつて計画を作り、施工できるようになつている。

プレパクトコンクリート、真空処理コンクリート等、新工法施工法、また施工されたコンクリートの性質について説明を加えてある。

本著においては、舗装コンクリート、重力ダムコンクリート等の施工法については、特に章を別としてくわしく述べてある。従来これらの事項については、それぞれの分野の著

書のなかに簡単に述べてある程度にすぎなかつた。著者はその豊富な経験をもととして、著者の体温を感じるような記述は特に意義あかい。

現場管理の方法への推計学応用について平易な説明を加え、現場管理の良否がいかに配合設計強度に大きい影響をおよぼすかを明らかとし、現場技術者の注意を促している。また標準示方書（現行のもの）の規定にあるように、配合設計強度を設計強度の 15% 増しとした場合、変異係数によつて強度の保証がどのように変動するかを明らかとしている。この点は従来現場技術者にはあまり理解されていなかつた点であつて、本書の説明は将来のコンクリート施工管理の上から非常に有益なものであろう。

最後にコンクリート試験法を述べ、現場技術者の日常試験の手引として役立つようにしてある。

以上要するに、本著は学生の教科書としてはもちろん、現場技術者のハンドブックとして非常に有益である。特に巻末の索引は便利であります親切である。

著者：正員（元会長）・工博・九州
大学名誉教授，B5判(182×257m
m・1700g) 817ページ，上製函入，
図版221・表117，定価1350円